

信州大学工学部 正員 草間 孝志  
(株)宮地鉄工所 正員 ○松沢 勝文

1. まえがき

繰返し荷重をうける構造物の変形について述べたもので、負荷履歴が与えられた構造物の変形を、M-φ関係を忠実に利用して計算した場合と、理想化したM-φ関係を用いて計算した場合について求め、両者の結果を比較検討した。

2. 繰返し断面力をうけるときのM-P-φ関係

いま、ある断面がある任意の履歴のもとに、軸力 $P_*$ 、曲げモーメント $M_*$ 、曲率 $\phi_*$ 、ひずみ分布 $\epsilon_*$ 、垂直応力度分布 $\sigma_*$ の状態でありつら合っており、つぎに、この状態から再負荷または除荷(以下単に除荷とよぶ)した軸力、曲げモーメントを $P'$ 、 $M'$ とし、これにともなう曲率、ひずみ、垂直応力度分布の変化を $\phi'$ 、 $\epsilon'$ 、 $\sigma'$ とし、 $p = P/P_*$ 、 $m = M/M_*$ 、 $\varphi = \phi/\phi_*$ 、 $\alpha = \epsilon/\epsilon_*$ とおくと、除荷後では

$$p = p_* + p', \quad m = m_* + m', \quad \varphi = \varphi_* + \varphi', \quad \alpha = \alpha_* + \alpha', \quad \sigma'/\sigma_y = \sigma_*/\sigma_y + \sigma'/\sigma_y \quad (1)$$

となる。図-1に示すような一軸対称断面の高さ $H$ を $(2u+1)$ 等分し、幅 $B$ を $(2v+1)$ 等分した $ij$ 要素の履歴応力、履歴ひずみを $\sigma_{ij}$ 、 $\epsilon_{ij}$ とし、材料の応力-ひずみ関係をBilinearと仮定すると、 $ij$ 要素の $\sigma_{ij} - \epsilon_{ij}$ 関係は図-2に示すように原点 $O$ を $O'$ に座標移動した応力-ひずみ関係を有する材料として取扱えばよい。簡単のため、 $i$ 軸に關し履歴応力、履歴ひずみとも対称とし、曲げモーメント $m'$ も $j$ 軸まわりのみを作用するものとする。曲率変化も $j$ 軸まわりのみを考之ればよいから、 $\mu = \phi_j l_1 / \epsilon_y$ とおくと、除荷ひずみ分布は

$$\alpha'_{ij} = \alpha'_{00} + \mu \varphi'_{ij} \quad (2)$$

で表わされる。軸力は図心 $G$ に作用し、圧縮を正とすると、除荷時のつり合い条件式より

$$\left. \begin{aligned} p' &= [k_{st} + (1-k_{st})Ae] \alpha'_{00} + \mu [\beta k_{st} + (1-k_{st})G_e] \varphi' + (1-k_{st})C_p \\ m'/y &= [\beta k_{st} + (1-k_{st})G_e] \alpha'_{00} + \mu [k_{st}(\mu y) + \beta^2 k_{st} + (1-k_{st})I_e] \varphi' + (1-k_{st})D_p - \beta p' \end{aligned} \right\} \quad (3)$$

を得る。ここに、 $\beta = H_g/l_1$ 、 $l_1 = H/(2u+1)$ 、 $\gamma = l_1/s$ 、 $s =$  核半径、

$A_e = -\alpha_{tij} \leq \alpha_{ij} \leq \alpha_{cij}$  を満足する要素の $\alpha_{ij}$ の和、

$G_e = -\alpha_{tji} \leq \alpha_{ij} \leq \alpha_{cji}$  を満足する要素の $\alpha_{ij}$ の和、

$I_e = -\alpha_{tij} \leq \alpha_{ij} \leq \alpha_{cij}$  を満足する要素の $\alpha_{ij} l^2$ の和、

$C_p = (\alpha_{ij} > \alpha_{cij}$  を満足する要素の $\alpha_{ij} \frac{\partial \alpha_{ij}}{\partial y}$ の和) - ( $\alpha_{ij} < -\alpha_{tij}$  を満足する要素の $\alpha_{ij} \frac{\partial \alpha_{ij}}{\partial y}$ の和)、

$D_p = (\alpha_{ij} > \alpha_{cij}$  を満足する要素の $\alpha_{ij} \frac{\partial \alpha_{ij}}{\partial y} i$ の和) - ( $\alpha_{ij} < -\alpha_{tij}$  を満足する要素の $\alpha_{ij} \frac{\partial \alpha_{ij}}{\partial y} i$ の和)、

$\alpha_{ij} = A_{ij}/A$ である。式(3)を $\alpha'_{00}$ 、 $\varphi'$ について解くと、 $\alpha'_{00}$ 、 $\varphi'$ は次の形で与えられる。

$$\alpha'_{00} = A_1 p' + B_1 m' + C_1, \quad \varphi' = A_2 p' + B_2 m' + C_2 \quad (4)$$

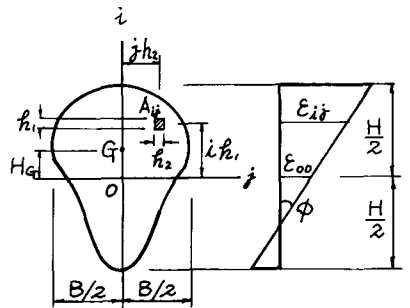


図-1

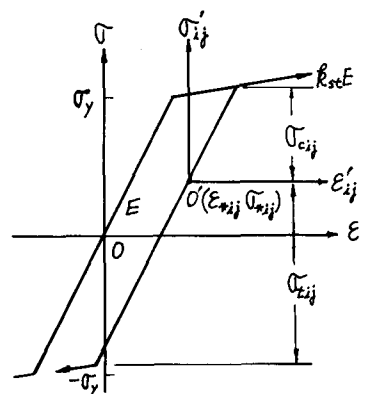


図-2

式(1), (2), (4)より, 断面力が繰返し作用するときの  $M-P-\phi$  関係を得る。計算結果の一例を図-3, 4に示した。図-3は  $P=0.4P_y$  で,  $M$  が  $\pm 1.2M_y$  の繰返しの場合, 図-4は  $M=1.2M_y$  で  $P$  が  $\pm 0.4P_y$  の繰返しの場合である。

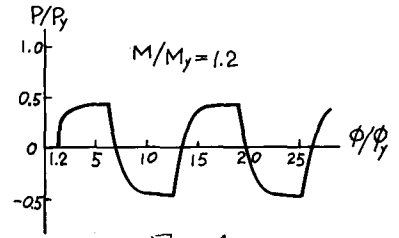
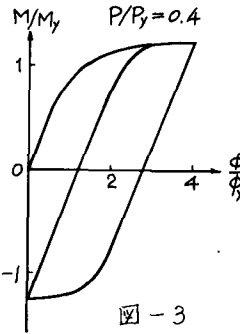


図-3

図-4

特別な場合として, 全要素が弾性ならば

$$\alpha'_{oo} = \rho' - \mu\beta m', \quad \rho' = m' \quad (5)$$

除荷時の弾性条件  $-\alpha_{ij} \leq \alpha_{ij} \leq \alpha_{ij}$  より

$$-1 - \sigma_{ij}/\sigma_y \leq \rho' + \mu(i-\beta)m' \leq 1 - \sigma_{ij}/\sigma_y$$

を得る。上式を満足する領域を全要素について図示すると, 除荷弾性域を表わす図-5の凸多角形ができる。

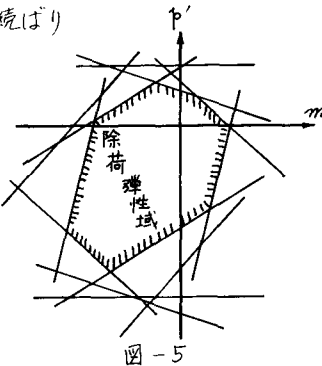


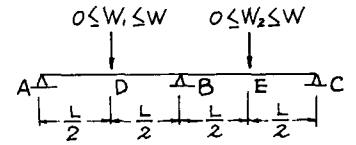
図-5

### 3. 繰返し荷重をうける二径間連続ばり

図-6に示す連続ばりの変形について考える。断面が長方形断面とする

と, この桁の単純崩壊荷重は  $W_0 = 6M_p/L = 9M_y/L$  で, 変形硬化荷重は  $W_s = 5.05M_p/L = 7.58M_y/L$  となる。

$M-\phi$  関係を用いて, 忠実に変形を計算するには, 点Aの反力とたわみ



負荷過程

	$W_1$	$W_2$
1	0	0
2	W	W
3	0	0
4	W	0
5	0	0

図-6

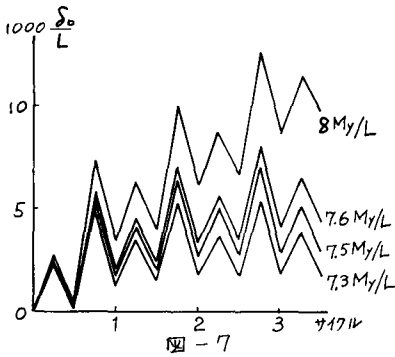


図-7

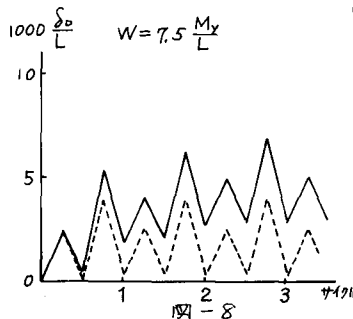


図-8

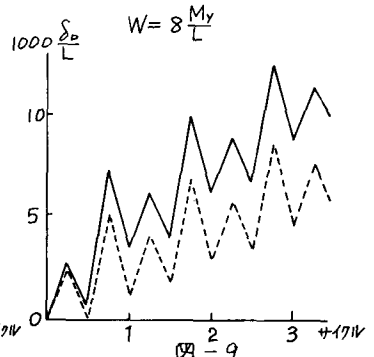


図-9

角を仮定し, Aより右に向つて逐次たわみを計算する。そして, BC 点のたわみ  $\delta_B = \delta_C = 0$  を満足する解を見出せばよい。計算結果の一例を図-7に示す。この図からも  $W$  が約  $7.6M_y/L$  で変形硬化することがわかり,  $W_s = 7.58M_y/L$  と一致している。図-8, 9は理想化した  $M-\phi$  関係による解(点線)と,  $M-\phi$  関係を忠実に用いて計算した精解(実線)との比較を示す。図-8は変形硬化する例で, 図-9は漸増崩壊する例である。変形硬化する場合でも, 実線と点線とはかなりの差を認める。

### 4. 結び

I形断面では, これ程の差はないと考えられるが, 変形を重視する必要がある構造物では, 変形硬化荷重のみならず, 変形に関する検討の必要性を感じる。Meyerはひずみ硬化の影響について論じているが, (ASCE, Vol.98, No. ST1, Jan. 1972), これについても今後検討したいと考えている。